

실라에텐 $\text{Cl}_2\text{Si}=\text{CHCH}_2\text{Bu}$ 의 생성과 반응성

金貞均* · 朴恩美 · 具美美 · 朴慶來† · 孫炳榮‡

동아대학교 자연과학대학 화학과

†충남대학교 약학대학 약학과

‡단국대학교 문리과학대학 화학과

(1992. 8. 24 접수)

Generation and Reactivities of Silaethene $\text{Cl}_2\text{Si}=\text{CHCH}_2\text{Bu}$ — Unsaturated Compounds of 14 group Elements(IX)¹ —

Chung-Kyun Kim*, Eunmi Park, Mi-Young Ku, Kyunglae Park[†], and Byung-Yun Son[‡]

Department of Chemistry, Dong-A University, Pusan 604-714, Korea

[†]College of Pharmacy, Chungnam National University, Daejeon 305-764, Korea

[‡]Department of Chemistry, Dankuk University, Seoul 140-714, Korea

(Received August 24, 1992)

요 약. Lithiated 화합물인 $\text{Cl}_3\text{SiCHLiCH}_2\text{Bu}$ 로부터 LiCl 의 제거반응에 의해 생성된 준안정 반응중간체인 silaethene, $\text{Cl}_2\text{Si}=\text{CHCH}_2\text{Bu}$ 은 propene, 2-methylpropene, 1,3-butadiene, 2,3-dimethyl-1,3-butadiene, anthracene과 반응하여 엔반응 생성물, 2+2-, 2+4-고리화부가생성물을 생성한다. 이들을 분별진공증류법에 의해 분리하였고 분광학적으로 확인하였다.

ABSTRACT. Silaethene $\text{Cl}_2\text{Si}=\text{CHCH}_2\text{Bu}$, generated as a metastable reaction intermediate by the thermal elimination of LiCl from lithiated compound $\text{Cl}_3\text{SiCHLiCH}_2\text{Bu}$, react with propene, 2-methylpropene, 1,3-butadiene, 2,3-dimethyl-1,3-butadiene, and anthracene to give ene-reaction product, 2+2-, and 2+4- cycloadducts. They are isolated by vacuum fractional distillation method and spectroscopically identified.

서 론

실라에텐(silaethene, silene)은 π -결합성을 가진 중간체로서 준안정(metastable)분자 상태로 존재하며^{2,3a-c} 그 확인은 대부분 화학적 방법에 의존하고 있다.^{4a-c} 실라에텐 3의 형성에 관한 보고는 Auner에 의해 $\text{Cl}_3\text{SiCHCH}_2$ 1과 BuLi 의 반응을 통해 얻어진 3의 이합체(dimer)를 GC/MS로 확인함으로써 시작되었으며^{5a,b}, 그 π -결합성에 관한 단서는 1과 BuLi 의 반응과정에서 naphthalene, cyclopentadiene 유도체와의 반응으로부터 2+4-고리화첨가화합물^{6a}, 그리고 $\text{RC}\equiv\text{CR}'$ 와의 반응으로부터 2+2-고리화첨가화합물을 확인함으로써 시작되었다^{7a,b}.

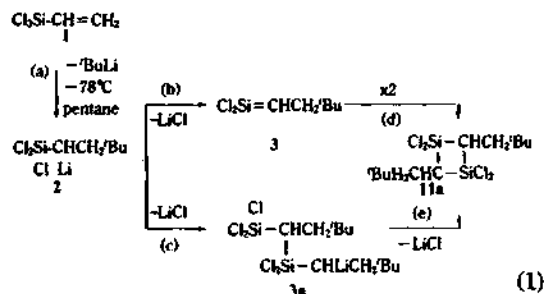
본 연구에서는 실라에텐 3의 안정화반응에 따른 이합체 11a의 형성이 용매에 따라 크게 변하고 있

음을 확인하였고 1과 반응물(trapping agent; propene, 2-methylpropene, 1,3-butadiene, 2,3-dimethyl-1,3-butadiene, anthracene)이 용해되어 있는 pentane용액에 BuLi 을 첨가하여 각 과정에서 얻어지는 반응생성물들이 2+2-, 2+4- 고리화첨가생성물과 엔반응 생성물로 확인됨으로서 3은 π -결합성을 가진 반응중간체로 존재하고 있음을 확인하였다. 3의 이합체 11a의 형성은 반응용매의 polarity가 증가할수록 증가했으며 pentane용액 중에서는 11a의 형성이 ¹H-NMR에 의해서는 확인되지 않았다. 3의 반응성 중 엔반응이 2+2-고리화첨가반응과 Diels-Alder 반응보다 탁월했으며, 3은 그와 유사한 모델인 $\text{Me}_2\text{Si}=\text{CHCH}_2\text{Bu}$, 3b⁸에 비해 높은 2+2-고리화첨가반응 생성물(예: 3b와 1,3-butadiene의 반응(40

의 2+2-고리화첨가반응⁸, 3과 1,3-butadiene의 반응(68%의 2+2-고리화첨가반응)을 형성했고 2+4-고리화첨가반응은 3b에 비해 낮은 것으로 확인되었다. 이러한 경향성은 규소원자상에 치환된 염소 원자에 의해 실라에텐의 frontier orbital의 orbital coefficient가 크게 영향을 받아 일어나는 현상으로 밝혀졌다^{7a,b}.

결과 및 고찰

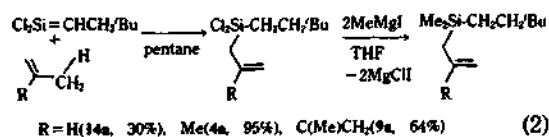
실라에텐 3의 형성. 실라에텐 $\text{Cl}_2\text{Si}=\text{CHCH}_2/\text{Bu}$ 3은 -78°C 로 냉각된 용액상태에서 $\text{Cl}_2\text{SiCH}=\text{CH}_2$ 'BuLi을 첨가시켜 형성된 2를 열분해(약 5°C 에서 Li-Cl의 침전형성이 관찰됨)시켜 얻어진다. 실라에텐은 주로 이합체 형성반응(σ -결합형성)으로 알려져^{2,3b-c} 있으나 실라에텐 3은 이합체 형성 뿐 아니라 수많은 1과 3의 oligomer들의 형성으로^{5a,b} 진행되고 있음을 ¹H-NMR 및 HPLC에 의해 확인되었다(실험 참조). 이러한 경향을 밝히기 위해 반응식 (1a) 과정에 'BuLi을 첨가한 후 -78°C 를 유지시키면서 건조되지 않은 소량의 Et_2O 을 첨가시켰을 경우 $\text{Cl}_2\text{SiCH}_2\text{CH}_2/\text{Bu}$ 12가 얻어졌으며 또 이 과정에 1.5당량배의 'BuLi이 첨가되었을 경우 'BuCl₂SiCH₂CH₂/Bu 13이 얻어졌다. 반응식 (1) 과정을 비극성 용매인 *n*-pentane 용액에서 진행시켰을 경우 11a의 형성은 ¹H-NMR에 의해서 관찰하지 못했으며 THF/pentane(2 : 1) 용액에서의 반응에서 34%의 11a를 분리하였다. 그러나 1이 존재하는 pentane용액 속에 2-methylpropene 기체를 용해시켜 'BuLi을 -78°C 에서 첨가했을 경우 4a의 형성만이 ¹H-NMR에 의해 확인되었다.



이러한 결과는 3의 형성이 비극성용매 속에서도 쉽게 이루어지고 있으나 3의 형성과정에 반응과정

(1a), (b) 그리고 (c)의 각 과정에서 형성된 불안정한 중간체인 2, 3 그리고 3a가 11a의 형성을 저해하는 인자들로 작용하여 수많은 oligomer들의 형성에 관여하게 됨을 알 수 있다. 따라서 반응식 (1)이 극성용매에서 이루어질 경우 용매분자는 donor로 작용하여 $3 \leftarrow D \rightleftharpoons 3 + D(D=\text{THF})$ 의 평형이 용매분자에 의해서 이루어지게 되며 3의 농도가 증가하게 되어 3+3의 충돌이 증가함으로써 11a의 수율은 증가하게 된다(Ref. 2, 9a, c 참조). 그러나 비극성용매의 경우 3에 작용할 수 있는 donor로 1과 2가 있으며 2와 3은 반응식 (1c)의 과정을 유발하게 되고 이 과정은 이합체 혹은 oligomer의 여러 종류를 형성하게 된다. 이와 유사한 결과들은 Wiberg 등에 의해 $\text{Me}_2\text{Si}=\text{C}(\text{SiMe}_3)_2$ 및 $\text{Me}_2\text{Si}=\text{C}(\text{SiMe}_3)\text{SiMe}^t\text{Bu}_2$ 등의 실라에텐과 $\text{Me}_2\text{Ge}=\text{C}(\text{SiMe}_3)_2$ 와 $\text{Me}_2\text{Ge}=\text{NR}$ 등에서도 증명되었다^{3b-c}. 반응식 (1)에 의해 형성된 11a의 경우 *cis/trans* isomer가 존재하며^{3b} 본 연구에서 isolation한 11a(34%)는 MeMgI에 의해 methylation하여 문헌 8(b)의 결과와 비교해보니 *trans* isomer만이 isolation되었음을 밝혀준다(Table 1 참조).

실라에텐 3의 엔반응. 엔반응^{10,9b}은 orbital conservation 반응으로서 Diels-Alder반응¹¹과 매우 유사한 반응경로를 경유한다. 실라에텐 3과 propene, 2-methylpropene, 그리고 2,3-dimethyl-1,3-butadiene(DMB)와의 엔반응 생성물 4a, 9a, 14a의 수율로부터 propene이 가장 반응성이 낮은 것으로 밝혀졌다.



DMB의 경우 2+4-고리화첨가화합물의 형성이 엔반응 생성물의 형성보다 적은 것은 실라에텐 3의 polarity가 엔반응 형성에 크게 기여하고 있음을 증명하고 있다(Ref. 2, 9(b)-(d) 참조). 이것은 DMB와의 반응에서 실라에텐 $\text{Me}_2\text{Si}=\text{C}(\text{SiMe}_3)_2$ 의 경우 4 : 1의 비율로 Diels-Alder 반응생성물이 엔반응 생성물에 비해 탁월하나 실라이민 $\text{Me}_2\text{Si}=\text{NSiMe}^t\text{Bu}$ 의 경우 100%의 엔반응생물을 형성하는 경우와 잘 비교된다^{3b,9}. 반응식 (2)의 과정은 비극성용매 속에서 진행되는 경우가 극성용매 속에서의 경우보다

Table 1. Spectroscopic data of 4a~9b

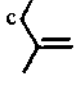
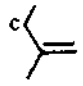
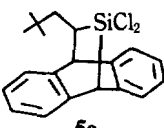
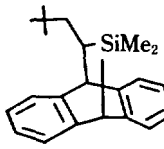
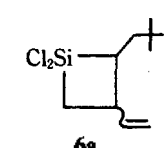
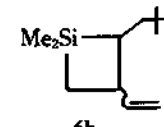
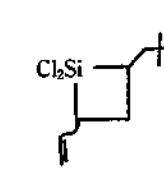
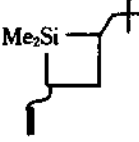
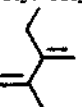
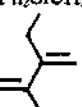


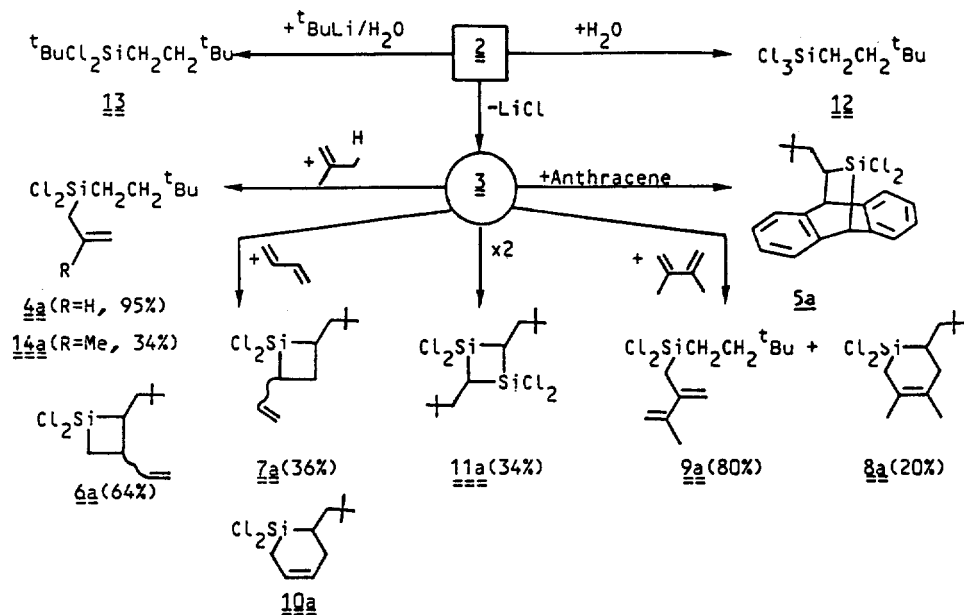
<p>a b Cl₂SiCH₂CH^tBu</p>  <p>4a</p>	<p>¹H-NMR(500 MHz, CDCl₃); δ=0.91(s, 9H, ^tBu), 1.12(t, 2H, a), 1.41(t, 2H, b), 1.86(s, 3H, CH₃), 2.13(s, 2H, c), 4.74, 4.84(d, 2H, CH₂=)</p> <p>¹³C-NMR(125 MHz, CDCl₃); δ=14.88(a), 25.11(c), 28.89(^tBu), 48.90(C_{quat}), 31.45(b), 36.20(CH₃), 48.90(C_{quat}), 112.93(CH₂=), 138.70(C=)</p> <p>MASS(70 eV); m/z=238(M⁺, 30%), 197((M-CH₂CH₃)⁺, 5%), 183((M-CH₂CCH₂Me)⁺, 12%), 167((M-CH₂^tBu)⁺, 29%), 127((Cl₂SiHCH₂CH₂)⁺, 11%), 113((Cl₂SiHCH₂)⁺, 29%), 99((Cl₂SiH)⁺, 8%), 57(^tBu)⁺, 100%</p>
<p>a b Me₂SiCH₂CH₂^tBu</p>  <p>4b</p>	<p>¹H-NMR(500 MHz, CDCl₃); δ=0.02(s, 6H, Me₂Si), 0.47(t, 2H, a), 0.87(s, 9H, ^tBu), 1.19(t, 2H, b), 1.55(s, 2H, c), 1.73(s, 3H, CH₃), 4.48, 4.59(d, 2H, CH₂=)</p> <p>¹³C-NMR(125 MHz, CDCl₃); δ=-3.03(Me₂Si), 9.62(a), 25.11(c), 31.90(b), 29.04(^tBu), 38.01(CH₃), 30.00(C_{quat}), 108.33(CH₂=), 144.00(C=)</p> <p>MASS(70 eV); m/z=198(M⁺, 10%), 183((M-Me)⁺, 3%), 143((M-CH₂CH₃)⁺, 84%), 113((M-CH₂CCH₂CH₃, Me₂)⁺, 60%), 99((Me₂SiCH₂CHCH₂)⁺, 32%), 85(^tBuCH₂CH₂)⁺, 63%), 73((Me₂Si)⁺, 100%), 59((Me₂Si)⁺, 99%)</p> <p>CH Analysis in %(Found/calculation); C%(72.42/72.62), H%(13.26/13.23)</p>
 <p>5a</p>	<p>¹H-NMR(90 MHz, CDCl₃); δ=0.95(s, 9H, ^tBu), 1.30(m, 3H, CH-CH₂), 4.20, 4.22(s, d, 2H, Benzylic,C-H), 7.18~7.44(m, 8H, Aromatic-H)</p> <p>(*see ref. 6(a))</p> <p>¹³C-NMR(22.5 MHz, B₂d₆); δ=27.50(CH), 30.01(^tBu), 31.00(CH), 44.20(CH₂), 54.00(CH), 124.84, 126.22, 126.42, 126.53, 126.78, 127.06(Aromatics)</p>
 <p>5b</p>	<p>¹H-NMR(90 MHz, CDCl₃); δ=0.15(s, 6H, Me₂Si), 0.92(s, 9H, ^tBu), 1.12~1.59(m, 3H, CHCH₂), 4.12(d, 2H, Benzylic C-H), 7.20(m, 8H, Aromatic H)</p> <p>¹³C-NMR(22.5 MHz, B₂d₆); δ=-0.01(Me₂Si), 25.00(CH), 29.90(^tBu), 31.00(CH), 43.90(CH₂), 54.00(CH), 123.80~125.70(Aromatics)</p> <p>MASS(70 eV); m/z=320(M⁺, 11%), 249((M-^tBuCH₂)⁺, 4%), 191((M-^tBuCH₂, Me₂Si)⁺, 4%), 178((anthracene)⁺, 100%), 142((M-anthracene)⁺, 9%), 85(^tBuCH₂CH₂)⁺, 53%</p>
 <p>6a</p>	<p>¹H-NMR(500 MHz, CDCl₃); δ=0.93(s, 9H, ^tBu), 1.72, 1.73, 1.75, 1.76(dd, 2H, CH₂), 2.14, 2.16, 2.17, 2.19(q, 2H, CH₂), 1.27, 1.28, 1.29, 1.30(dd, 2H, CH₂-ring), 2.36~2.45(m, 1H, CH-ring), 5.06~5.87(m, 1H, CH=), 4.99~5.06(m, 2H, CH₂=)</p> <p>¹³C-NMR(125 MHz, CDCl₃); δ=29.86(^tBu), 30.66(CH₂), 38.38(CH), 42.66(CH₂), 40.83(CH), 115.40(CH₂=), 139.28(CH=)</p>
 <p>6b</p>	<p>¹H-NMR(90 MHz, CDCl₃); δ=0.25(s, 6H, Me₂Si), 0.86(s, 9H, ^tBu), 1.10~1.41(m, CH-CH₂), 4.77~5.03(m, CH₂=), 5.65~6.05(m, CH=)</p> <p>¹³C-NMR(125 MHz, CDCl₃); δ=-0.75, (Me₂Si), 29.80(CH), 30.84(CH₂), 30.70(^tBu), 17.97(CH₂), 41.70(CH), 112.80(CH₂=)</p>
 <p>7a</p>	<p>¹H-NMR(500 MHz, CDCl₃); δ=0.92(s, 9H, ^tBu), 1.39, 1.40, 1.41, 1.42(dd, 2H, CH₂), 2.36~2.45(m, 1H, CH), 1.64(t, 2H, CH₂), 3.243, 3.246, 3.263, 3.266, 3.283, 3.286, 3.303, 3.036(q, d, 1H, CH), 4.90~5.06(m, 2H, CH₂), 5.78~5.85(m, 1H, CH=)</p> <p>¹³C-NMR(125 MHz, CDCl₃); δ=29.73(^tBu), 30.57(CH₂), 39.49(CH₂), 42.72(CH), 47.56(CH), 113.45(CH₂=), 141.40(CH=)</p> <p>MASS*(70 eV); m/z=236(M⁺, 2%), 221((M-Me)⁺, 10%), 182((M-CH₂CHCH₂)⁺, 13%), 179((M-^tBu)⁺, 14%), 165((M-CH₂^tBu)⁺, 8%), 125((Cl₂SiCHCH₂)⁺, 19%), 99((Cl₂SiH)⁺, 10%), 57(^tBu)⁺, 100%), 54((CH₂CHCH₂)⁺, 10%)</p> <p>*mixture of 6a and 7a</p>

Table 1. Continued

 <p style="text-align: center;">7b</p>	<p>¹H-NMR(90 MHz, CDCl₃); δ=0.30(s, 6H, Me₂Si), 0.86(s, 9H, 'Bu), 1.10~1.41(m, CHCH₂), 4.77~5.03(m, CH₂=), 5.65~6.05(m, CH=)</p> <p>¹³C-NMR(125 MHz, CDCl₃); δ=-4.53, 1.29(Me₂Si), 18.99(CH), 32.63(CH₂), 29.93('Bu), 42.94(CH₂), 44.08(CH), 110.43(CH₂=), 145.17(CH=)</p> <p>MASS*(70 eV); m/z=196(M⁺, 6%), 142((M-CH₂CHCH₂)⁺, 64%), 139((M-'Bu)⁺, 76%), 111((M-'Bu, CH₂CH₂)⁺, 33%), 97((M-'BuCH₂, CH₂CH₂)⁺, 36%), 85(Me₂SiCHCH₂)⁺, 100%), 73(Me₃Si⁺, 56%), 59(Me₂Si⁺, 85%)</p> <p>*mixture of 6b and 7b</p>
<p style="text-align: center;">$\text{Cl}_2\text{SiCH}_2\text{CH}_2/\text{Bu}$</p>  <p style="text-align: center;">9a</p>	<p>¹H-NMR(90 MHz, CDCl₃); δ=0.98(s, 9H, 'Bu), 1.29(m, 2H, CH₂), 1.48(m, 2H, CH₂), 1.76(s, 3H, CH₃), 1.92(s, 2H, CH₂-Si), 4.78(m, 2H, CH₂=), 4.88(m, 2H, CH₂=)</p>
<p style="text-align: center;">$\text{Ph}_2\text{SiCH}_2\text{CH}_2/\text{Bu}$</p>  <p style="text-align: center;">9b</p>	<p>¹H-NMR(90 MHz, B₂-d₆); δ=0.82(s, 9H, 'Bu), 1.42(m, 4H, CH₂CH₂), 1.76(q, 3H, Me), 4.68(m, 2H, CH₂=), 4.86(m, 2H, CH₂=), 7.15(m, 5H, Ph), 7.62(m, 5H, Ph)</p> <p>MASS(70 eV); m/z=348(M⁺, 8%), 291((M-'Bu)⁺, 12%), 277((M-'BuCH₂)⁺, 8%), 270((M-PhH)⁺, 13%), 249((M-CH₂CCH₃, 'Bu, H)⁺, 4%), 235((M-CH₂CCH₃, CH₂'-Bu, H)⁺, 4%), 221((M-CH₂CCH₃, CH₂CH₂'Bu, H)⁺, 3%), 209((Ph₂SiCH₂CH)⁺, 100%), 195((Ph₂SiCH)⁺, 8%), 183((Ph₂SiH)⁺, 54%), 105((PhSi)⁺, 30%), 57(('Bu)⁺, 6%)</p>
<p style="text-align: center;">$(\text{Cl}_2\text{SiCHCH}_2/\text{Bu})_2$</p> <p style="text-align: center;">11a</p>	<p>¹H-NMR(90 MHz, CDCl₃); δ=0.91(s, 18H, 'Bu), 1.69~1.93(m, 6H, CH₂CH₂)</p> <p>¹³C-NMR(22.5 Hz, CDCl₃); δ=28.90('Bu), 31.00(C_{quart}), 35.70(CH), 38.20(CH₂)</p>
<p style="text-align: center;">$(\text{Me}_2\text{SiCHCH}_2/\text{Bu})_2$</p> <p style="text-align: center;">(trans)</p> <p style="text-align: center;">11b</p>	<p>¹H-NMR(90 MHz, CDCl₃); δ=0.05(s, 2H, CH), 0.17(s, 12H, Me₂Si), 0.78(s, 19H, 'Bu), 1.33~1.41(d, 4H, CH₂)</p> <p>¹³C-NMR(22.5 Hz, CDCl₃); δ=-9.10(Me₂Si), 12.10(CH), 209.39('Bu), 31.50(C_{quart}), 40.00(CH₂), (see ref. 8(b))</p> <p>MASS(70 eV); m/z=284((M-H)⁺, 8%), 247((M-2Me)⁺, 25%), 227((M-'BuH)⁺, 85%), 157((M-'Bu, CH₂C(CH₃)₂, CH₃), 141((M-2'Bu, 2Me)⁺, 100%), 99((Me₂SiCHCH₂)⁺, 56%), 85((Me₂SiCHCH₂)⁺, 64%), 73((Me₃Si)⁺, 74%), 59((Me₂SiH)⁺, 56%)</p>
<p style="text-align: center;">$\text{Cl}_3\text{SiCH}_2\text{CH}_2/\text{Bu}$</p> <p style="text-align: center;">12</p>	<p>¹H-NMR(90 MHz, CDCl₃); δ=0.98(s, 9H, 'Bu), 1.39~1.50(m, 4H, CH₂CH₂)</p> <p>¹³C-NMR(22.5 Hz, CDCl₃); δ=19.60(CH₂Si), 29.52('Bu), 30.51(C_{quart}), 35.50(CH₂-C)</p>
<p style="text-align: center;">$\text{'BuCl}_2\text{SiCH}_2\text{CH}_2/\text{Bu}$</p> <p style="text-align: center;">13</p>	<p>¹H-NMR(90 MHz, CDCl₃); δ=0.82(s, 9H, 'Bu-Si), 1.00(s, 9H, 'Bu-C), 1.44~1.78(m, 4H, CH₂CH₂)</p> <p>¹³C-NMR(22.5 Hz, CDCl₃); δ=10.19(CH₂Si), 23.00(C_{quart}-Si), 25.00('Bu-Si), 28.90('Bu-C), 30.80(C_{quart}-C), 37.00(CH₂-C)</p>
<p style="text-align: center;">$\text{Cl}_2\text{SiCH}_2\text{CH}_2/\text{Bu}$</p>  <p style="text-align: center;">14a</p>	<p>¹H-NMR(90 MHz, CDCl₃); δ=0.90(s, 9H, 'Bu), 4.95~5.21(m, 3H, vinyl), CH₂-CH₂ 및 CH₂-Si signal은 0~2 ppm 사이의 미세구조로 나타나고 있으나 미량의 불순물 peak와 구분해 내지 못했음</p>
<p style="text-align: center;">$\text{Me}_2\text{SiCH}_2\text{CH}_2/\text{Bu}$</p>  <p style="text-align: center;">14b</p>	<p>¹H-NMR(90 MHz, CDCl₃); δ=0.08(s, 6H, Me₂Si), 0.47~0.62(m, 4H, CH₂CH₂), 0.81(s, 9H, 'Bu), 0.95~1.05(m, 2H, CH₂-), 4.76~5.92(m, 3H, vinyl)</p> <p>¹³C-NMR(22.5 Hz, CDCl₃); δ=-3.00(Me₂Si), 9.45(Si-CH₂), 25.20(CH₂-vinyl), 30.05(C_{quart}), 30.00('Bu), 34.50(CH₂'-Bu), 112.00(CH=), 135.00(CH₂=)</p> <p>MASS(70 eV); m/z=184((M)⁺, 8%), 169((M-Me)⁺, 8%), 142((M-CH₂CHCH₃)⁺, 58%), 127((M-'Bu)⁺, 47%), 99((Me₂SiCH₂CHCH₂)⁺, 70%), 85(('BuCH₂CH₂)⁺, 100%), 73(Me₃Si)⁺, 69%), 59((Me₂SiH)⁺, 87%)</p>



Scheme 1. Reactivity of silaethene 3.

높은 수율을 얻을 수 있었으며 반응식 (2) 과정에서 R=Me, C(Me)CH₂의 경우 11a 및 oligomer들의 형성은 관찰되지 않았으나 R=H의 경우 낮은 수율과 11a의 oligomer들의 형성이 관찰되었다.

실라에텐 3의 2+4-고리화첨가반응. 실라에텐 3과 anthracene의 반응에서 반응생성물로 2+4-고리화첨가화합물 5의 구조는 ¹H-NMR에 의해 anthracene의 9, 10 위치에 존재하는 ¹H이 3.89~4.12 ppm에서 그리고 방향성을 가지는 탄소들은 7.20 ppm으로 확인되었다. 5a의 형성은 문헌 6(a)의 ¹H-NMR spectrum과 동일한 결과로 확인되었으며 ¹³C-NMR spectrum에서 재확인되었다(Table 1 참조). 2,3-dimethyl-1,3-butadiene과 3의 반응에서는 주생성물로서 9a를 확인하였고(80%) 부반응으로서 2+4-고리화첨가생성물인 8a의 (20%) 형성을 확인하였다. 실라에텐 3의 Diels-Alder 반응은 Me₂Si=CHCH₂/Bu^{30,8,12}에 비해 낮은 반응성을 가진 반면 ene-반응과 2+2-고리화첨가반응은 상대적으로 높은 반응성을 가지고 있음이 본 실험에서 확인되었다.

실라에텐 3의 2+2-고리화 첨가반응. 3과 1,3-butadiene의 반응에서는 2+2-고리화 첨가반응 생성물이 주생성물로서 6a와 7a가 형성 (65%의 수율로 6a와 7a의 혼합물을 분리)되었으며 2+4-고리화

첨가반응 생성물 10a는 확인하지 못했다. 반응 생성물 6a와 7a의 확인은 ¹H-NMR에 의해 (64%의 7a와 36%의 6a형성) 이루어졌으며 또 이 혼합물(6a와 7a)을 methylation하였을 경우도 6b와 7b의 Me₂Si기의 위치가 0.301 ppm(7b)과 0.240 ppm(6b)에서 64:36의 비율로 나타나고 있다. 이 혼합물의 질량 분석(MASS)은 분자이온(M⁺)의 peak가 m/z=196에서 확인되었으며 이 혼합물은 분리하지 않았다.

생성물 6a와 7a는 두단계 반응과정을 거쳐 형성되는 반응생성물이며 그 결과는 Me₂Si=CHCH₂/Bu과 1,3-butadiene의 반응¹²에서 40%의 2+2-고리화첨가반응생성물과 7%의 2+4-고리화첨가화합물의 형성과 잘 비교되고 있다. 본인 등에 의해 확인된 실라에텐 3의 반응성은 위와 같다.

실험

본 실험에 사용한 용매는 모두 용매건조장치에서 금속 Na로 건조시켜(극성용매인 THF와 Et₂O는 Ph₂C=O에 의해 건조상태를 확인) 사용직전 증류하여 사용하였다. 모든 유리기구들은 진공장치에 연결하여 가열 건조시켜 사용하였다. 수율의 계산은 90 MHz FT NMR spectrometer (Jeol JNM-EX90A)에

의한 $^1\text{H-NMR}$ spectrum에 의해 이루어졌으며 수율 계산용 시료는 반응이 끝난 반응조에서 반응 용매를 일부 채취하여 건조된 5 mm NMR tube에 넣고 용매와 미반응 반응물을 진공상태에서 증발시킨 후 molecular sieve에 의해 건조된 CDCl_3 를 용매로 첨가시켜 dry ice/acetone Dewar에서 진공으로 만든 다음 용접시켜 사용하였다. 반응생성물의 정제는 진공 증류 및 감압 증류법에 의해 이루어졌으며 $^1\text{H-NMR}$, $^{13}\text{C-NMR}$ spectrum은 90 MHz와 500 MHz(Bruker AM 500 spectrometer) FT-NMR에 의해 미세구조들을 확인하였고, 질량분석과 원소분석을 위해서는 규소원자상의 2개의 염소원자를 모두 Grignard반응에 의해 methylation 및 phenylation시켜 (분석과정에서 발생할 수 있는 가수분해 현상을 방지하기 위해) 사용하였다. 원소분석과 MS분석은 기초과학연구원센터의 단순지원 의뢰에 의해서 이루어졌다(원소분석 (Carlo Erba 1108) MS(VG 70-SEQ)). Isomer들의 분리를 위해 HPLC(Varian 5020 Liquid Chromatography)를 사용하였고 사용된 detector는 UV detector(220 nm 및 254 nm)와 Refractive Index Detector(Varian RI-4)를 사용하였다. 사용 Column은 Varian제(C-18-5, Micropak 4 mm I. D., 15 cm long)를 사용하였다.

3과 2-Methylpropene의 반응. 3.81 g(23.6 mmole)의 1을 100 ml의 *n*-pentane 용액에 용해시켜 -78°C 로 냉각시킨 후 진공(10^{-1} torr)에서 50 mmole의 2-methylpropene기체를 반응용매에 용해시켜 25 ml의 *n*-pentane 용액에 용해된 23.6 mmole의 $^t\text{BuLi}$ 을 -78°C 로 유지된 반응용기에 천천히 첨가시킨다. 약 1시간 정도 그 온도를 유지시킨 다음 상온으로 방치시키면 5°C 정도에서 LiCl의 백색침전이 유리되는 것이 관찰된다. 상온에서 1시간 정도 더 교반시킨 후 반응과정에서 형성된 LiCl을 감압 여과시켜 수율계산을 위한 sample을 채취하여 $^1\text{H-NMR}$ spectrum에 의해 확인해 본 결과 ^tBu 영역에서 1개의 peak(0.91 ppm) 만이 관찰되었다(>95%). 감압증류하여 용매와 미반응 1을 제거시킨 다음 $40^\circ\text{C}/10^{-1}$ torr로 증류하였다.

수 율. 3.67 g(65%)의 4,4-dichloro-2,7,7-trimethyl-4-silaoct-1-ene **4a**이며 ^1H -과 ^{13}C -NMR의 분광학적 data는 Table 1에 수록하였다. 1.91 g(4.97 mmole)

의 **4a**를 10 ml의 THF 용액에 용해시켜 12.30 mmole의 MeMgI (in THF)을 상온에서 서서히 첨가시킨 후 2시간동안 환류시켜 감압증류법에 의해 용매를 제거시킨 다음 50 ml의 pentane으로 반응과정에서 형성된 MgClI 를 제거시키고 감압증류법에 의해 용매를 제거시킨 다음 $40^\circ\text{C}/10^{-1}$ torr에서 증류하였다.

수 율. 0.59 g(60%)의 2,4,4,7,7-pentamethyl-4-silaoct-1-ene **4c**: ^1H -, ^{13}C -NMR, MASS 및 원소분석 data는 Table 1에 수록하였다.

3과 1,3-Butadiene의 반응. 3.94 g(24.4 mmole)의 1을 100 ml의 pentane용액에 용해시켜 -78°C 로 냉각시킨 후 진공(10^{-1} torr)에서 48.8 mmole의 buta-1,3-diene기체를 반응용매에 용해시켜 25 ml의 *n*-pentane용액에 용해된 24.4 mmole의 $^t\text{BuLi}$ 을 -78°C 로 유지된 반응용기에 천천히 첨가시킨다. 약 1시간 정도 그 온도를 유지시킨 다음 상온으로 방치시키면 5°C 정도부터 LiCl의 백색침전이 유리되는 것이 관찰된다. 반응 용매를 상온에서 약 1시간 정도 더 교반시킨 후 반응과정에서 형성된 LiCl을 감압 여과시켜 감압증류법을 이용하여 용매와 미반응 1을 제거시킨 다음 $42^\circ\text{C}/10^{-1}$ torr로 증류하여 3.60 g(62.3%)의 **6a**와 **7a**의 isomer를 얻었다(isomer **6a**와 **7a**의 형성비율은 36 : 64). **6a**와 **7a**의 spectroscopic data는 Table 1에 수록하였다. 2.24 g(11.43 mmole)의 **6a**와 **7a**의 혼합물을 10 ml의 THF에 녹여 25.43 mmole (2.2배 당량)의 MeMgI (in THF)을 상온에서 서서히 첨가시킨 후 2시간동안 환류시켜 감압증류법에 의해 용매를 제거시킨 다음 50 ml의 pentane 용액으로 반응과정에서 형성된 MgClI 를 제거시키고 감압 증류법에 의해 용매를 제거시킨 다음 $42^\circ\text{C}/10^{-1}$ torr에서 증류하여 isomer **6b**와 **7b**을 얻었다.

수 율. 1,1-Dimethyl-2-neopentyl-3-vinyl-1-silacyclobutane(**6b**)와 1,1-dimethyl-2-neopentyl-4-vinyl-1-silacyclobutane(**7b**)의 혼합물 1.53 g(68.3%) ^1H -, ^{13}C -NMR 및 MS data는 Table 1에 수록하였다.

3과 2,3-Dimethyl-1,3-butadiene(DMB)의 반응. 4.25 g(26.30 mmole)의 1과 6.00 g(73.04 mmole)의 DMB를 100 ml의 *n*-pentane 용액에 용해시키고 -78°C 로 냉각된 반응조에 25 ml의 pentane 용액에 용해된 26.30 mmole의 $^t\text{BuLi}$ 을 천천히 첨가시킨 다

음 약 1시간 정도 그 온도를 유지시킨 후 상온으로 방치시키면 5°C 정도부터 LiCl의 백색 침전이 유리된다. 반응 용매를 상온에서 약 1시간 정도 더 교반시킨 후 반응 과정에서 형성된 LiCl을 감압여과시키고 감압증류법을 이용하여 용매와 미반응물들을 제거시킨다. 60°C/10⁻¹ torr에서 증류하여 5.60 g(21.2 mmole)의 **8a**와 **9a** isomer mixture(수율 80%)를 얻었다(**8a**와 **9a**의 형성비율은 1:4). ¹H-NMR과 ¹³C-NMR은 Table 1에 수록하였다.

5.53 g(20.9 mmole)의 **8a**와 **9a**의 혼합물을 20 ml의 THF용액에 녹여 42.0 mmole의 PhMgBr(in THF)를 상온에서 서서히 적가시킨 후 약 2시간동안 환류시킨 다음 용매를 감압증류하여 제거시키고 50 ml의 *n*-pentane 용액으로 감압여과한다. 140°C/10⁻¹ torr에서 증류하여 pentane 용액에서 재결정하여 **9b**(무색 결정)를 얻었다. ¹H-, ¹³C-NMR 및 MS data는 Table 1에 수록하였다.

3과 Anthracene의 반응. 1.35 g (8.33 mmole)의 **1**과 1.50 g (8.40 mmole)의 anthracene을 50 ml의 benzene용액에 용해시킨 다음 상온에서 25 ml의 pentane에 용해된 8.33 mmole의 ^tBuLi을 상온에서 천천히 적가시키면 약 30분 후 LiCl의 백색침전이 생성되는 것이 관찰된다. 상온에서 24시간 교반시킨 후 반응 과정에서 형성된 LiCl을 감압 여과시켜 용매와 미반응물 **1**을 감압증류하여 제거하고 pentane용액에서 무색 결정 0.36 g(35.4%) **5a**를 얻었다. Spectroscopic data는 Table 1에 수록하였다.

1과 ^tBuLi의 반응. 3.85 g(23.86 mmole)의 **1**을 THF/pentane(2:1) 50 ml에 용해시키고 -78°C로 냉각시킨 후 ^tBuLi 23.86 mmole을 천천히 적가시킨 다음 약 1시간동안 반응온도에서 교반시킨다. 반응 용액을 상온으로 방치시키면 5°C 정도부터 LiCl의 백색침전이 형성된다. 반응용매를 상온에서 한 시간 정도 다시 교반시킨 후 LiCl을 감압여과시키고 감압증류법에 의해 용매와 미반응물을 제거시킨다. 140°C/10⁻¹ torr에서 sublimation시켜 pentane에서 재결정하였다.

수 율. 2.737g(7.45 mmole 34%) 1,1,3,3-tetrachloro-2,4-dineopentyl-1,3-disilacyclobutane(**11a**) ¹H-, ¹³C-NMR spectrum은 Table 1 참조.

0.29 g(0.76 mmole)의 **11a**을 THF용액 10 ml에

용해시킨 다음 3.00 mmole MeMgI의 Et₂O용액을 적가시켜 1시간동안 reflux하여 감압여과시킨 후 용매를 감압증류한 후 130°C/10⁻¹ torr에서 sublimation시켜 pentane 용액에서 재결정하였다. 1,1,3,3-Tetramethyl-2,4-dineopentyl-1,3-disilacyclobutane(**11b**) ¹H-, ¹³C-NMR spectrum과 MS spectrum은 Table 1 참조.

3과 Propene의 반응. 3.03 g(18.78 mmole) **1**을 pentane 100 ml에 용해시켜 -78°C로 냉각시킨 후 진공(10⁻¹ torr)에서 40 mmole의 propene기체를 반응용매에 용해시키고 18.78 mmole의 ^tBuLi을 천천히 적가시킨다. 약 1시간 후 상온으로 방치시키고 1시간 더 교반시킨 다음 반응과정에서 형성된 LiCl을 감압여과시킨 다음, 용매를 감압증류하여 제거시키고 60°C/3 torr에서 증류하였다.

수 율. 1.40 g(6.24 mmole 33.8%)의 4,4-dichloro-7,7-dimethyl-4-silaoct-1-ene **14a**을 얻었다. ¹H-spectroscopic data는 Table 1 참조.

1.40 g(6.24 mmole) **14a**를 THF 10 ml에 용해시키고 12.48 mmole의 MeMgI(in THF)을 상온에서 서서히 적가시킨 다음 2시간 동안 환류시킨다. 감압증류법에 의해 용매를 제거시키고 25 ml의 pentane용액에서 MgCl₂를 제거시킨 다음 감압증류법에 의해 용매를 제거시키고 63°C/10 torr에서 증류하였다.

수 율. 0.63 g(3.42 mmole 55%)의 4,4,7,7-tetramethyl-4-silaoct-1-ene **14b**을 얻었다. ¹H-spectroscopic data는 Table 1 참조.

2의 Hydrolysis 반응. 1.89 g(11.25 mmole)의 **1**을 Et₂O/pentane(1:1) 50 ml에 용해시켜 -78°C로 냉각시킨 후 ^tBuLi 11.75 mmole을 천천히 적가시킨 다음 약 10분 후 건조시키지 않은 Et₂O 1 ml을 적가시킨다. 상온으로 방치시켜 LiCl을 제거시킨 후 용매를 감압증류하고 25°C/10⁻¹ torr로 증류하여 0.30 g(1.37 mmole 11.7%)의 1,1,1-trichloro-4,4-dimethyl-1-silapentane **12a**를 얻었다. **12a**의 ¹H-, ¹³C-NMR spectroscopic data는 Table 1 참조.

1과 ^tBuLi의 반응. **12a**의 제조와 같은 방법으로 하였으며 ^tBuLi만 **1**에 비해 과량으로 첨가하였다. 40°C/10⁻¹ torr에서 sublimation하여 pentane에서 재결정하였다. 3,3-Dichloro-2,2,6,6-tetramethyl-3-si-

laheptane 13a의 ^1H -, ^{13}C -NMR spectroscopic data는 Table 1 참조

이 논문은 1990년도 교육부지원 한국학술진흥재단의 지방대 육성 학술연구 조성비에 의하여 연구되었음.

인용문헌

1. 제 8 보, 대학원논문집, 동아대학교, in press (1992).
2. N. Wiberg, *J. Organomet. Chem.*, **273**, 141 (1984).
3. (a) N. S. Nametkin, L. E. Gusef'nikov, V. M. Vdovin, P. L. Grinberg, V. I. Zavlyalov, and V. D. Opengaim, *Dokl. Akad. Nauk SSSR*, **171**, 630 (1966) (*Chem. Abstr.*, **66**, 46452q (1967)); (b) L. E. Gusef'nikov and N. S. Nametkin, *Chem. Rev.*, **79**, 529 (1979); (c) G. Raabe and J. Michl, *Chem. Rev.*, **85**, 419 (1989).
4. (a) N. Wiberg, G. Preiner, O. Schieda, and G. Fischer, *Chem. Ber.*, **114**, 3505 (1981); (b) N. Wiberg, G. Preiner, and O. Schieda, *Idid.*, **114**, 2087 (1981); (c) **114**, 3518 (1981).
5. (a) N. Auner and Z. Anorg, *Allg. Chem.*, **558**, 87 (1988); (b) N. Auner and Z. Anorg, *Allg. Chem.*, **558**, 55 (1988).
6. (a) N. Auner, *J. Organomet. Chem.*, **353**, 275 (1988); (b) **377**, 175 (1989); (c) **366**, 59 (1987).
7. (a) N. Auner, C. Seidenschwarz, E. Hertweck, and N. Sewald, *Angew. Chem. Int. Ed, Engl.*, **30**, 444 (1991); (b) N. Auner, C. Seidenschwarz, E. Hertweck, and N. Sewald, *Angew. Chem. Int. Ed, Engl.*, **30**, 1151 (1991).
8. (a) P. R. Jones, T. F. A. Lim, and R. A. Pierce, *J. Am. Chem. Soc.*, **102**, 4970 (1980); (b) P. R. Jones, A. H. B. Cheng, and T. E. Albanesi, *Organometallics*, **3**, 78 (1984); (c) P. R. Jones, R. A. Pierce, and A. H. B. Cheng, *Organometallics*, **2**, 12 (1983).
9. (a) N. Wiberg and G. Wagner, *Angew. Int. Ed, Engl.*, **22**, 1005 (1983); (b) N. Wiberg and Ch.-K. Kim, *Chem. Ber.*, **119**, 2966 (1986), **119**, 2980 (1986); (c) Ch.-K. Kim, *Dissertation. Univ. München* (1985); (d) H. Köpf, *Dissertation. Univ. München* (1985); (e) P. Karampatses, *Dissertation. Univ. München* (1985).
10. H. M. R. Hoffmann, *Angew. Chem.*, **81**, 597 (1969).
11. (a) O. Diels and K. Alder, *Justus Liebigs Ann. Chem.*, **460**, 98 (1928); (b) J. Sauer, *Angew. Chem.*, **79**, 76 (1967); (c) J. Sauer and R. Sustman, *Angew. Chem.*, **92**, 773 (1980).
12. P. R. Jones and T. F. O. Lim, *J. Am. Chem. Soc.*, **99**, 2013 (1977).